

日本大學生産工學部土木工學科 正員 落合 実
 " " " " 三浦 遠藤 春勝

1. まえがき

透過性構造防波堤の消波効果に関する研究は、これまで多く行なわれてきた。古くは、Le Méhauté (1958) により碎石を用いた透過性構造物に関する研究、また同様に碎石を対象として、久保・玉井らによる研究がある。また人工ブロックに関する研究として、鶴上・時川らによる文脚ブロックを用いた研究があり、これらに隣接して研究として、尾崎らは、空隙の効果に関する研究を行なっている。これらは、必ずしも実験的に行なわれた研究であるが、これらに対して、合田や Wiegel、そして富永・坂本らは、理論的に検討し、また岩崎・沼田らは、異形ブロックを対象とした実験から合田の提案した理論式を検討している。そして、三浦・遠藤らは、文脚ブロックを対象に伝達率の実験式について検討している。これらの既往の研究は、主に波高伝達率についての検討を中心として進められてきたといえる。しかしまだその伝達率の十分な推定を得るに至っていないものと考えられる。

そこで、本文では、著者らがブロック堤を対象に示した波高伝達率の実験式を各種透過性構造の防波堤に適用し、それらの伝達率の推定について検討したものである。

2. 波高伝達率の推定式

著者らは、異形ブロックの中で文脚ブロックを用いた防波堤の波高伝達率に関する研究を行い、ブロック積防波堤の波高伝達率は、戻浪が生じない範囲では、入射波形勾配と相対堤体巾によって表わされる式を示している。

$$K_t = \left[1 + \exp(\alpha) \cdot \left(\frac{H_i}{L} \right)^{\beta} \right]^{-\frac{1}{\alpha}} \quad (1)$$

$$\text{ここで、 } \alpha = f_1(B/d), \beta = f_2(B/d)$$

この実験式は、合田の提案した金網型ウェーブスルーターの理論式において、金網の特性に関する係数を、ブロックの特性に対応できると仮定して実験データから係

数を定め得られたもので、これらは、実験結果と良く一致し、ブロック積防波堤の波高伝達率を推定するための有効な推定式であるといえる。

3. 波高伝達率推定式の通用

先の実験式は、入射波形勾配と相対堤体中の関数で表わされている。そしてその相対堤体中、B/dは、堤体巾、Bと、ブロック1個の最大寸法、dとの比であり、堤体内部の空隙の大小に關係するものである。従って透過性防波堤の波高伝達率は、その堤体の空隙に支配されるものと考えられる。そこで各種透過性構造物に関する既往の実験結果に対して、それら空隙を表す、B/dの扱いについて検討し、それに基づいて導出した波高伝達率の推定式を次に示す。

3.1 碎石を用いた透過性構造物への通用

碎石を用いた透過性防波堤の実験には、Le Méhauté の研究があり、その実験結果を式(1)に通用し得られる波高伝達率の推定式は、次式となる。すなはち、

$$1) \quad B = 2.0 \text{ cm} \quad d = 1.8 \text{ cm} \text{ の場合}$$

$$K_t = \left[1 + 1.618 \left(\frac{H_i}{L} \right)^{0.428} \right]^{-2.336} \quad (2)$$

$$2) \quad B = 15.0 \text{ cm} \quad d = 5.9 \text{ cm} \text{ の場合}$$

$$K_t = \left[1 + 2.647 \left(\frac{H_i}{L} \right)^{0.494} \right]^{-2.024} \quad (3)$$

$$3) \quad B = 124.0 \text{ cm} \quad d = 5.9 \text{ cm} \text{ の場合}$$

$$K_t = \left[1 + 1523.59 \left(\frac{H_i}{L} \right)^{0.344} \right]^{-0.744} \quad (4)$$

3.2 異形ブロックを用いた透過性構造物への通用

異形ブロックの一種としてテトラポットを用いた透過性防波堤の実験には、沼田による研究がある。その実験結果から、同様に式(1)を適用するところより、次に示す波高伝達率の推定式が得られる。

$$K_t = \left[1 + 2.190 \left(\frac{H_i}{L} \right)^{0.469} \right]^{-2.134} \quad (5)$$

$$\text{ただし } B = 45.0 \text{ cm} \quad d = 22.6 \text{ cm}$$

また、斐形ブロックの実験は、腹部・堀らによる研究があり、その実験結果から同様に次の推定式が得られる。

1) $B = 6.12 \text{ cm}$ $d = 9.3 \text{ cm}$ の場合

$$Kt = [1 + 8.289 (\frac{H_i}{L})^{0.602}]^{-1.660} \quad \dots \dots (6)$$

2) $B = 74.4 \text{ cm}$ $d = 9.3 \text{ cm}$ の場合

$$Kt = [1 + 11.822 (\frac{H_i}{L})^{0.693}]^{-1.555} \quad \dots \dots (7)$$

3.3 パイプを用いた格子型透通性構造物への適用
透通性構造物をモデル化した型の構造物としてパイプ構造がある。この研究として、近藤、藤間らの研究がある。このパイプ構造は、パイプと同径の間隔をあけて格子状に組んだ構造物であり、同一構造形式をとるよう十文字の単位エニットを考えることができる。
この単位エニットの最大寸法は、パイプ径の4倍となり、堤体中の条件と共に実験式に適用すると次のよう
な、波高伝達率推定式が得られる。

$$Kt = [1 + 29.584 (\frac{H_i}{L})^{0.817}]^{-1.224} \quad \dots \dots (8)$$

ただし $B = 130.0 \text{ cm}$, $d = 13.6 \text{ cm}$

以上のように各堤体における波高伝達率推定式を示したが、その推定式による計算結果と引用した既往の実験結果を、図-1および図-2に示したが、それらは、極めて良い一致を示していることがわかる。

4. 結論

著者らが導いた波高伝達率の実験式を、各種の堤体に適用し、波高伝達率の推定について検討したが、その主な事項をまとめると次のようになる。

1)文脚ブロックを用いた透通性防波堤の波高伝達率に関する実験式(1)は、各種透通性構造物を用いた堤体の波高伝達率を十分推定できる実験式であることが明らかとなった。2)各種透通性構造物の空隙は、 B/d により支配されるので、その B/d の扱い方が問題となるが、エニット的考え方より基づいて得られる1単位エニットのむき最大寸法と堤体中で規定され、そのようにして求められる推定式の結果が既往の実験結果と良く一致することが認められた。3)透通性防波堤の波高伝達率は、堤体の B/d に支配され、堤体構造物の形状による影響の少ないことが認められた。

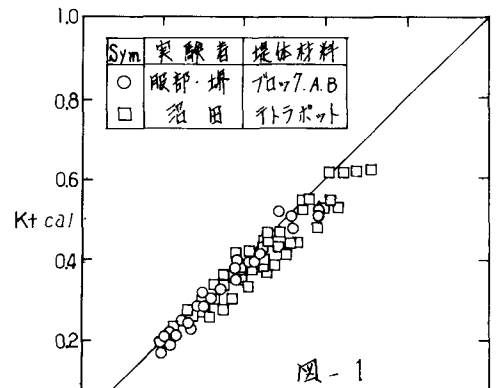


図-1

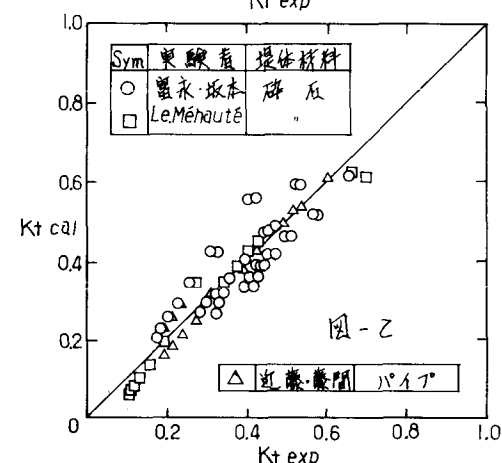


図-2

以上のようないち早く得られたが、今後は、よく多くの堤体条件に対する推定式の適用、及び、3)で述べた堤体構造物の形状による影響などについて、検討していくと考えている。

参考文献

- 1) 富永正照・坂本忠彦：透通性構造物による波の变形に関する研究(1)，第16回海講論文集 昭和14年
- 2) 沼田 淳：ブロック堤の消波効果に関する実験的研究：第22回海講論文集 昭和50年
- 3) 服部昌太郎・課和彦：ブロック積み防波堤の波高伝達率に関する実験的研究，第20回海講論文集 昭和48年
- 4) 近藤淑郎・藤間聰：透通性防波構造物の水理特性，第17回海講論文集 昭和45年
- 5) 三浦晃・遠藤茂勝：ブロック積み斜面防波堤の波高伝達率に関する実験的研究，第23回海講論文集 昭和51年
- 6) 三浦晃・遠藤茂勝：ブロック積み防波堤の波高伝達特性，第24回海講論文集 昭和52年